

УДК 621.317.733

Ю. Я. ШАГАЛОВ, В. П. ШУЛЬЦ

(Новосибирск)

ОБ ОДНОМ ПРИНЦИПЕ ПОСТРОЕНИЯ
АВТОКОМПЕНСАЦИОННЫХ МОСТОВЫХ ЦЕПЕЙ
ДЛЯ ИЗМЕРЕНИЯ КОМПЛЕКСНЫХ СОПРОТИВЛЕНИЙ

Для измерения комплексных сопротивлений широко применяются автокомпенсационные мостовые цепи, осуществляющие преобразование составляющих измеряемых сопротивлений в эквивалентное им напряжение [1, 2]. Отсутствие в таких мостовых цепях электромеханических уравновешивающих элементов позволяет получать высокое быстродействие устройств при сравнительно малой погрешности преобразования.

На практике часто требуется измерять не только составляющие комплексных сопротивлений, но и их относительные параметры, например тангенс угла потерь конденсаторов, добротность катушек индуктивности. Один из путей решения этой задачи состоит в том, что получаемые на выходе автокомпенсационной мостовой цепи напряжения, пропорциональные составляющим измеряемого сопротивления, подаются на дополнительное делительное устройство, вычисляющее соответствующий относительный параметр [3]. Другое решение данной задачи состоит в формировании задающих напряжений или компенсационных токов мостовой цепи при помощи дополнительных фазосдвигающих цепей и управляемых делителей напряжений [4, 5]. Ниже описывается принцип построения автокомпенсационных мостовых цепей для измерения составляющих комплексных сопротивлений и их относительных параметров [6], позволяющий создавать сравнительно простые измерительные устройства, и приводятся некоторые варианты выполнения мостовых цепей.

Автокомпенсационная мостовая цепь содержит в общем случае четыре плечевые комплексные сопротивления Z_1, Z_2, Z_3, Z_4 ; источник напряжения U ; электронноуправляемый делитель напряжения УД; трансформаторы напряжения Тр1; трансформаторы сравнения токов Тр2, Тр3; усилители переменного тока Y_1, Y_2 ; фазочувствительные детекторы $\Phi D_1, \Phi D_2$; вольтметры B_1, B_2 и фазосдвигающую цепь ФЦ (рис. 1).

Задающие напряжения, прикла-

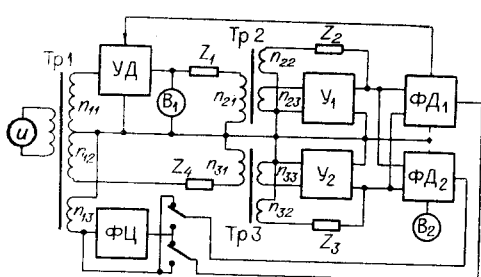


Рис. 1.

дываемые к сопротивлениям Z_1 , Z_4 через обмотки n_{21} , n_{31} трансформаторов сравнения токов, снимаются с обмоток n_{11} и n_{12} трансформатора напряжения. Делитель УД позволяет регулировать величину напряжения на сопротивлении Z_1 . Возникающие в обмотках n_{21} и n_{31} токи создают в трансформаторах Тр2 и Тр3 магнитные потоки, и на их вторичных обмотках n_{23} и n_{33} возникают напряжения. Усиленные усилителями, эти напряжения подаются на сопротивления Z_2 и Z_3 через обмотки n_{22} , n_{32} трансформаторов сравнения токов. Усилители оказываются охваченными глубокой отрицательной обратной связью. При этом можно считать, что потоки в трансформаторах отсутствуют и имеют место равенства:

$$I_1 = k \frac{n_{11} \dot{U}_B}{Z_1}; \quad I_2 = \frac{\dot{U}_{\text{вых } 1}}{Z_2}; \quad I_3 = \frac{\dot{U}_{\text{вых } 2}}{Z_3}; \quad I_4 = \frac{n_{12} \dot{U}_B}{Z_4}, \quad (1)$$

где k — коэффициент передачи управляемого делителя УД; \dot{U}_B — напряжение на один виток обмотки трансформатора Тр1; $\dot{U}_{\text{вых } 1}$, $\dot{U}_{\text{вых } 2}$ — напряжения на выходах усилителей Y_1 , Y_2 . Между токами I_1 , I_2 и I_3 , I_4 имеют место соотношения:

$$I_1 n_{21} = I_2 n_{22}; \quad I_3 n_{32} = I_4 n_{31}. \quad (2)$$

Из (1) и (2) получаем:

$$\dot{U}_{\text{вых } 1} = k \frac{Z_2}{Z_1} \frac{n_{11} n_{21}}{n_{22}} \dot{U}_B = k (A + j B); \quad (3)$$

$$\dot{U}_{\text{вых } 2} = \frac{Z_3}{Z_4} \frac{n_{12} n_{31}}{n_{32}} \dot{U}_B = C + j D. \quad (4)$$

Измерение относительных параметров комплексных сопротивлений возможно при использовании следующего принципа. Измеряемое сопротивление включается в автокомпенсационную мостовую цепь таким образом, чтобы в выражении (3) величина A зависела только от одной из составляющих этого сопротивления, а величина B — от другой. Как известно, это достигается тем, что измеряемое сопротивление, представляемое последовательной эквивалентной схемой, включается во второе плечо мостовой цепи, а представляемое параллельной схемой — в первое плечо. Если путем изменения коэффициента передачи k делителя выполнить равенство активных составляющих напряжений $\dot{U}_{\text{вых } 1}$ и $\dot{U}_{\text{вых } 2}$, то реактивная составляющая напряжения $\dot{U}_{\text{вых } 1}$ станет равной

$$\text{Im} \{ \dot{U}_{\text{вых } 1} \} = C \frac{B}{A}, \quad (5)$$

т. е. она пропорциональна относительному параметру измеряемого комплексного сопротивления. При равенстве реактивных составляющих напряжений $\dot{U}_{\text{вых } 1}$ и $\dot{U}_{\text{вых } 2}$ активная составляющая напряжения $\dot{U}_{\text{вых } 1}$ равна

$$\text{Re} \{ \dot{U}_{\text{вых } 1} \} = D \frac{A}{B}. \quad (6)$$

В этих случаях по выходному напряжению управляемого делителя \dot{U}_B возможно определить одну из составляющих измеряемого сопротивления (проводимости), поскольку при выполнении (5)

$$\dot{U}_{B_1} = k n_{11} \dot{U}_B = n_{11} \frac{C}{A} \dot{U}_B, \quad (7)$$

а при выполнении (6)

$$\dot{U}_{B_1} = k n_{11} U_B = n_{11} \frac{D}{B} \dot{U}_B. \quad (8)$$

В соответствии с изложенным принципом система автоматического уравновешивания, включающая управляемый делитель и фазочувствительный детектор ΦD_1 , приводит мост путем изменения коэффициента передачи в такое состояние, когда синфазные или квадратурные составляющие выходных напряжений усилителей относительно напряжения питания равны, т. е. имеют место следующие равенства:

$$\operatorname{Re}\{\dot{U}_{\text{вых } 1}\} = \operatorname{Re}\{\dot{U}_{\text{вых } 2}\} \quad (9)$$

или

$$\operatorname{Im}\{\dot{U}_{\text{вых } 1}\} = \operatorname{Im}\{\dot{U}_{\text{вых } 2}\}.$$

Из (3), (4) и (9) имеем:

$$\operatorname{Re}\left\{k \frac{Z_2}{Z_1} \frac{n_{11} n_{21}}{n_{22}} \dot{U}_B\right\} = \operatorname{Re}\left\{\frac{Z_3}{Z_4} \frac{n_{12} n_{31}}{n_{32}} \dot{U}_B\right\}; \quad (10)$$

$$\operatorname{Im}\left\{k \frac{Z_2}{Z_1} \frac{n_{11} n_{21}}{n_{22}} \dot{U}_B\right\} = \operatorname{Im}\left\{\frac{Z_3}{Z_4} \frac{n_{12} n_{31}}{n_{32}} \dot{U}_B\right\}. \quad (11)$$

Выбирая образцовые сопротивления, удовлетворяющие выражениям (10), (11), можно получить отдельные варианты автокомпенсационных мостовых цепей. Некоторые из них приведены в табл. 1.

Отсчет составляющих измеряемого сопротивления (или составляющих проводимости) производится по выходному напряжению управляемого делителя, а отсчет его относительных параметров — по выходному напряжению \dot{U}_{B_1} фазочувствительного детектора ΦD_2 . При изменении опорных напряжений фазочувствительных детекторов на угол 90° изменяются приводимые к равенству составляющие выходных напряжений и создается возможность измерять другие параметры комплексного сопротивления. Это позволяет производить измерение более чем двух параметров или требуемых двух, переключая только опорные напряжения фазочувствительных детекторов. При подаче на вход детектора ΦD_2 выходного напряжения усилителя U_1 отсчет пропорционален относительному параметру измеряемого сопротивления, а при подаче разности выходных напряжений обоих усилителей отсчет пропорционален разности относительного параметра и некоторой постоянной величины, определяемой значениями образцовых сопротивлений Z_3 и Z_4 .

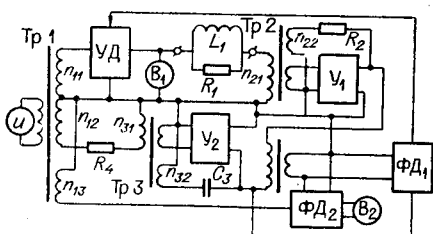


Рис. 2.

катушек индуктивности, представляемых по параллельной эквивалентной схеме замещения. Процесс уравновешивания моста заключается в приведении к равенству реактивных составляющих выходных напряжений усилителей с помощью управляемого делителя и фазочувствительного детектора ΦD_1 . Опорное напряжение детектора ΦD_1 снимается с выхода усилителя U_2 , выходное напряжение которого сдвинуто относительно напряжения питания моста на 90° . На опорный вход детектора

Таблица 1

№ п.п.	Характер пасечных сопротивлений	Приводи- мые к ра- венству со- ставляю- щие на- прижений		Измеряемые параметры		Уравнения равенства	Примечание
		Im	C ₂ , tg δ ₂	Im	C ₂ = C ₃ R ₄ n ₂₁ n ₃₃ U _B ; tg δ ₂ = ω C ₃ R ₄ n ₃₂ U _{B₃} + tg δ ₃		
1	Z ₁ = R ₁ ; Z ₂ = R ₂ + $\frac{1}{j\omega C_2}$; Z ₃ = R ₃ + $\frac{1}{j\omega C_3}$; Z ₄ = R ₄ .						—
2	То же, что и в п. 1	Re	$\frac{1}{R_2}, \frac{1}{tg \delta_2}$	Re	$\frac{1}{R_2} = \frac{R_4}{R_1 R_3} \frac{n_{21} n_{32}}{n_{12} n_{22} n_{31}} \frac{U_{B_1}}{U_B}; \frac{1}{tg \delta_2} = \frac{R_4}{R_3} \frac{n_{12}}{n_{32} n_{31}} \frac{U_{B_2}}{U_B} + \frac{1}{tg \delta_3}$		—
3	Z ₁ = R ₁ ; Z ₂ = R ₂ + jω L ₂ ; Z ₃ = R ₃ $\frac{1}{Z_4} = \frac{1}{R_4} + j\omega C_4$.	Im	$\frac{1}{L_2}, \frac{1}{Q_2}$	Im	$L_2 = R_1 R_3 C_4 \frac{n_{12} n_{22} n_{31}}{n_{21} n_{32}} \frac{U_{B_1}}{U_B}; Q_2 = \frac{n_{32}}{n_{12} n_{31}} \frac{U_{B_2}}{U_B \omega R_3 C_4} + tg \delta_4$	По L ₂ и Q ₂ обратная шкала	—
4	То же, что и в п. 3	Re	$\frac{1}{R_2}, Q_2$	Re	$\frac{1}{R_2} = \frac{R_4}{R_1 R_3} \frac{n_{21} n_{32}}{n_{12} n_{22} n_{31}} \frac{U_{B_1}}{U_B}; Q_2 = \frac{R_4}{R_3} \frac{n_{32}}{n_{22} n_{31}} \frac{U_{B_2}}{U_B} + \frac{1}{tg \delta_4}$	—	—
5	$\frac{1}{Z_1} = \frac{1}{R_1} + j\omega C_1; Z_2 = \frac{1}{j\omega C_2}$; Z ₃ = R ₃ $\frac{1}{j\omega C_3}$; Z ₄ = R ₄ .	Re	$\frac{1}{C_1}, tg \delta_1$	Re	$C_1 = C_2 \frac{R_3}{R_4} \frac{n_{12} n_{22} n_{31}}{n_{21} n_{32}} \frac{U_{B_1}}{U_B}; tg \delta_1 = \frac{R_4}{R_3} \frac{n_{32}}{n_{12} n_{31}} \frac{U_{B_2}}{U_B} + tg \delta_3$	По C ₁ обратная шкала	—
6	То же, что и в п. 5	Im	R ₁	Im	R ₁ = R ₄ $\frac{C_3}{C_2} \frac{n_{21} n_{32}}{n_{12} n_{22} n_{31}} \frac{U_{B_1}}{U_B}$		—
7	$\frac{1}{Z_1} = \frac{1}{R_1} + \frac{1}{j\omega L_1};$ $Z_2 = R_2;$ $Z_3 = \frac{1}{j\omega C_3}; Z_4 = R_4.$	Im	$L_1, \frac{1}{Q_1}$	Im	$L_1 = C_3 R_2 R_4 \frac{n_{21} n_{32}}{n_{12} n_{22} n_{31}} \frac{U_{B_1}}{U_B}; Q = \frac{n_{12} n_{31}}{n_{32} \omega C_3 R_4} \frac{1}{U_B}$	По Q ₁ обратная шкала	—

$\Phi\Delta_2$ подается напряжение с обмотки n_{13} трансформатора Тр1. Выходные напряжения усилителей равны:

$$\dot{U}_{\text{вых } 1} = k \frac{n_{11} n_{21}}{n_{22}} \frac{R_2 (R_1 + j \omega L_1)}{R_1 j \omega L_1} \dot{U}_B; \quad \dot{U}_{\text{вых } 2} = \frac{n_{12} n_{31}}{n_{32}} \frac{1}{R_4 j \omega C_3} \dot{U}_B.$$

Система автоматического уравновешивания приводит мост в состояние, при котором

$$\text{Im} \{ \dot{U}_{\text{вых } 1} \} = \text{Im} \{ \dot{U}_{\text{вых } 2} \},$$

или

$$k \frac{n_{11} n_{21}}{n_{22}} \frac{R_2}{j \omega L_1} \dot{U}_B = \frac{n_{12} n_{31}}{n_{32}} \frac{1}{R_4 j \omega C_3} \dot{U}_B. \quad (12)$$

Учитывая, что $k n_{11} U_B = \dot{U}_{B_1}$, получим выражения для напряжения на выходе управляемого делителя

$$\dot{U}_{B_1} = \frac{n_{12} n_{31} n_{22}}{n_{21} n_{32}} \frac{1}{R_2 R_4 C_3} \dot{U}_B L_1.$$

Выражение для напряжения на выходе фазочувствительного детектора $\Phi\Delta_2$ получим при условии, что коэффициент передачи детектора равен единице:

$$U_{B_2} = \text{Re} \{ \dot{U}_{\text{вых } 1} \} = k \frac{n_{11} n_{21}}{n_{22}} \frac{R_2}{R_1} U_B.$$

Учитывая равенство (12), имеем

$$U_{B_2} = \frac{n_{12} n_{31}}{n_{32}} \frac{1}{R_4 \omega C_3} U_B \operatorname{tg} \delta_1.$$

При измерении малых сопротивлений для исключения погрешности, возникающей за счет переходных сопротивлений контактов, обычно используется четырехзажимная схема подключения. Такое подключение возможно и в автокомпенсационных мостовых цепях, построенных по рассматриваемому принципу. В качестве примера на рис. 3 представлена схема мостовой цепи для измерения емкости и тангенса угла потерь конденсаторов. В этой цепи регулировкой коэффициента передачи k достигается равенство реактивных составляющих выходных напряжений усилителей Y_1 , Y_2 . Параметры конденсаторов определяются выражениями:

$$C_1 = \frac{n_{21} n_{32}}{n_{12} n_{22} n_{31}} \frac{R_2 R_4}{R_T R_\Pi} \frac{C_3}{U_B} U_{B_2}; \quad \operatorname{tg} \delta_1 = \frac{n_{32}}{n_{12} n_{31}} \omega C_3 R_4 \frac{U_{B_2}}{U_B}.$$

Эти выражения получены при условии, что $|Z_1| \ll R_\Pi$, $|Z_1| \ll R_T$. Некоторые варианты выполнения автокомпенсационных мостовых цепей для измерения малых сопротивлений при тех же ограничениях на $|Z_1|$ приведены в табл. 2.

Как следует из (7), (8) и табл. 1, 2, в приведенных мостовых цепях возможен частотонезависимый отсчет индуктивности при использовании

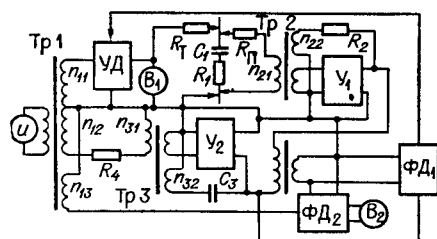


Рис. 3.

напряжений усилителей Y_1 , Y_2 . Параметры конденсаторов определяются выражениями:

$$C_1 = \frac{n_{21} n_{32}}{n_{12} n_{22} n_{31}} \frac{R_2 R_4}{R_T R_\Pi} \frac{C_3}{U_B} U_{B_2}; \quad \operatorname{tg} \delta_1 = \frac{n_{32}}{n_{12} n_{31}} \omega C_3 R_4 \frac{U_{B_2}}{U_B}.$$

Эти выражения получены при условии, что $|Z_1| \ll R_\Pi$, $|Z_1| \ll R_T$. Некоторые варианты выполнения автокомпенсационных мостовых цепей для измерения малых сопротивлений при тех же ограничениях на $|Z_1|$ приведены в табл. 2.

Как следует из (7), (8) и табл. 1, 2, в приведенных мостовых цепях возможен частотонезависимый отсчет индуктивности при использовании

Таблица 2

№ п.п.	Вид и характер плеcечных сопротивлений	Пригодимые к равенству сос автоколес напряжений	Измеряемые параметры	Уравнения равновесия			Примечание
				Im	$L_2, \operatorname{tg} \delta_2$	$L_2 = \frac{n_{21} n_{32}}{n_{12} n_{31} n_{22}} \frac{R_3 R_T R_{\Pi} C_3}{R_1} \frac{U_{B_1}}{U_B}; \operatorname{tg} \delta_2 = \frac{n_{32}}{n_{12} n_{31}} R_4 \omega C_3 \frac{U_{B_3}}{U_B}$	
1			Im	$L_2, \operatorname{tg} \delta_2$	$L_2 = \frac{n_{21} n_{32}}{n_{12} n_{31} n_{22}} \frac{R_3 R_T R_{\Pi} C_3}{R_1} \frac{U_{B_1}}{U_B}; \operatorname{tg} \delta_2 = \frac{n_{32}}{n_{12} n_{31}} R_4 \omega C_3 \frac{U_{B_3}}{U_B}$		—
2		$\operatorname{Re} \left(\frac{\dot{U}_{B_3}}{U_B} \right) = \frac{n_{12}}{n_{12}}$	R_2, Q_2	Im	$R_2 = \frac{n_{21}}{n_{12} n_{22}} \frac{R_T R_{\Pi}}{R_1} \frac{U_{B_3}}{U_B}; Q_2 = \frac{U_{B_3}}{n_{12} U_B}$		—
3			$C_1, \operatorname{tg} \delta_1$	Im	$C_1 = \frac{n_{21} n_{32}}{n_{12} n_{31} n_{22}} \frac{R_2 R_4 C_3}{R_T R_{\Pi}} \frac{U_{B_1}}{U_B}; \operatorname{tg} \delta_1 = \frac{n_{32}}{n_{12} n_{31}} R_4 \omega C_3 \frac{U_{B_3}}{U_B}$		—
4			$C_2, \operatorname{tg} \delta_2$	Im	$C_2 = \frac{n_{12} n_{31} n_{22}}{n_{21} n_{22}} \frac{C_4 R_3 R_1}{R_T R_{\Pi}} \frac{U_{B_1}}{U_B}; \operatorname{tg} \delta_2 = \frac{n_{32}}{n_{12} n_{31}} \omega C_4 R_3 \frac{U_{B_3}}{U_B}$	По C_2 обратная шкала	—
5			$L_1, \operatorname{tg} \delta_1$	Im	$L_1 = \frac{n_{12} n_{31} n_{22}}{n_{21} n_{32}} \frac{C_4 R_3 R_T R_{\Pi}}{R_2} \frac{U_{B_1}}{U_B}; \operatorname{tg} \delta_1 = \frac{n_{32}}{n_{12} n_{31}} \frac{1}{\omega C_4 R_3} \frac{U_{B_3}}{U_B}$	По L_1 обратная шкала	—

емкостных образцовых сопротивлений, что не обеспечивается в автокомпенсационных цепях [1—4].

В ряде случаев нижняя половина мостовой цепи, включающая в себя элементы Z_3 , Z_4 , T_{p3} и U_2 , может быть исключена (см. рис. 1). При этом для получения напряжения, равного выходному напряжению усилителя U_2 , может быть использована дополнительная фазосдвигающая цепь либо делитель напряжения.

В заключение следует отметить, что автокомпенсационные мосты, построенные по рассмотренному принципу, не содержат взаимосвязанных контуров уравновешивания, что важно для улучшения статических и динамических свойств измерительных устройств.

ЛИТЕРАТУРА

1. R. Calvert, J. Mildwater. Self-Balancing Transformer Ratio Arm Bridges.—*Electronic Engineering*, 1963, v. 35, № 430 («Экспресс-информация», КИТ, 1964, № 12).
2. Ф. Б. Гриневич, Е. Е. Добрков, К. Б. Карапанов. Автокомпенсационные мостовые цепи.—*Автометрия*, 1965, № 5.
3. Н. Я. Самойлов. Чипровой прибор для измерения составляющих комплексного сопротивления. Авторское свидетельство № 209579.—ИПОТЗ, 1968, № 5.
4. Ф. Б. Гриневич. Автокомпенсационный мост для измерения C и $\operatorname{tg} \delta$ или L и Q . Авторское свидетельство № 188576.—ИПОТЗ, 1966, № 22.
5. М. А. Ахматьев, Е. Е. Добрков, Ю. Я. Шагалов. Автокомпенсационный измерительный преобразователь C , $\operatorname{tg} \delta$, R —напряжение.—Тезисы докладов IX Всесоюзной конференции по автоматическому контролю и методам электрических измерений. Новосибирск, 1968.
6. В. П. Шульц, Ю. Я. Шагалов. Автоматический мост переменного тока. Авторское свидетельство № 220351.—ИПОТЗ, 1968, № 20.

*Поступила в редакцию
3 июля 1969 г.*